

Réduire le nombre de traces en CPA

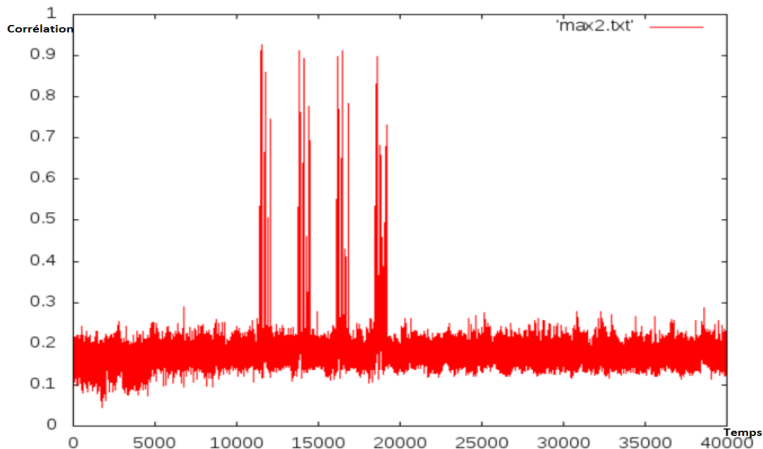
Crypto'Puces 2017

M. Ouladj, P. Guillot, F. Mokrane

LAGA CNRS (UMR 7539) Univ. paris8

1 juin 2017

Introduction/Motivation



Résultat d'une attaque CPA avec toutes les traces possibles (2^n clairs)

- Modélisation de l'attaque ;

- Modélisation de l'attaque ;
- Attaque de l'entrée de la S-Box (1^{er} tour AES) ;

- Modélisation de l'attaque ;
- Attaque de l'entrée de la S-Box (1^{er} tour AES) ;
- Attaque de la sortie de la S-Box (1^{er} tour AES) ;

- Modélisation de l'attaque ;
- Attaque de l'entrée de la S-Box (1^{er} tour AES) ;
- Attaque de la sortie de la S-Box (1^{er} tour AES) ;
- Conclusions et perspectives ;

Principe d'attaque : la fonction modèle de fuite

$$K = X = \{0, 1\}^3$$

$$L : K \times X \rightarrow \mathbb{R}$$
$$(k, x) \mapsto Hw(k \oplus x)$$

$Hw(k \oplus x)$	x=0	x=1	x=2	x=3	x=4	x=5	x=6	x=7
k=0	0	1	1	2	1	2	2	3
k=1	1	0	2	1	2	1	3	2
k=2	1	2	0	1	2	3	1	2
k=3	2	1	1	0	3	2	2	1
k=4	1	2	2	3	0	1	1	2
k=5	2	1	3	2	1	0	2	1
k=6	2	3	1	2	1	2	0	1
k=7	3	2	2	1	2	1	1	0

La fonction modèle de fuite

Principe d'attaque : la fonction modèle de fuite

$$K = X = \{0, 1\}^3, SX = \{0, 1, 2\} \subset X$$

$$L : K \times X \rightarrow \mathbb{R} \\ (k, x) \mapsto Hw(k \oplus x)$$

$Hw(k \oplus x)$	x=0	x=1	x=2	x=3	x=4	x=5	x=6	x=7
k=0	0	1	1	2	1	2	2	3
k=1	1	0	2	1	2	1	3	2
k=2	1	2	0	1	2	3	1	2
k=3	2	1	1	0	3	2	2	1
k=4	1	2	2	3	0	1	1	2
k=5	2	1	3	2	1	0	2	1
k=6	2	3	1	2	1	2	0	1
k=7	3	2	2	1	2	1	1	0

La fonction modèle de fuite sur un sous ensemble

Principe d'attaque : la fonction modèle de fuite

$$K = X = \{0, 1\}^3, SX = \{0, 1, 2\} \subset X$$

$$L : K \times X \rightarrow \mathbb{R} \\ (k, x) \mapsto Hw(k \oplus x)$$

$Hw(k \oplus x)$	x=0	x=1	x=2	x=3	x=4	x=5	x=6	x=7
k=0	0	1	1	2	1	2	2	3
k=1	1	0	2	1	2	1	3	2
k=2	1	2	0	1	2	3	1	2
k=3	2	1	1	0	3	2	2	1
k=4	1	2	2	3	0	1	1	2
k=5	2	1	3	2	1	0	2	1
k=6	2	3	1	2	1	2	0	1
k=7	3	2	2	1	2	1	1	0

La fonction modèle de fuite sur un sous ensemble

Principe d'attaque : la fonction modèle de fuite

$$K = X = \{0, 1\}^3, SX = \{0, 1, 2\} \subset X$$

$$L : K \times X \rightarrow \mathbb{R}$$
$$(k, x) \mapsto Hw(k \oplus x)$$

$Hw(k \oplus x)$	x=0	x=1	x=2	x=3	x=4	x=5	x=6	x=7
k=0	0	1	1	2	1	2	2	3
k=1	1	0	2	1	2	1	3	2
k=2	1	2	0	1	2	3	1	2
k=3	2	1	1	0	3	2	2	1
k=4	1	2	2	3	0	1	1	2
k=5	2	1	3	2	1	0	2	1
k=6	2	3	1	2	1	2	0	1
k=7	3	2	2	1	2	1	1	0

La fonction modèle de fuite sur un sous ensemble

Principe d'attaque : la fonction modèle de fuite

$$K = X = \{0, 1\}^3, SX = \{0, 1, 2\} \subset X$$

$$L : K \times X \rightarrow \mathbb{R} \\ (k, x) \mapsto Hw(k \oplus x)$$

$Hw(k \oplus x)$	x=0	x=1	x=2	x=3	x=4	x=5	x=6	x=7
k=0	0	1	1	2	1	2	2	3
k=1	1	0	2	1	2	1	3	2
k=2	1	2	0	1	2	3	1	2
k=3	2	1	1	0	3	2	2	1
k=4	1	2	2	3	0	1	1	2
k=5	2	1	3	2	1	0	2	1
k=6	2	3	1	2	1	2	0	1
k=7	3	2	2	1	2	1	1	0

La fonction modèle de fuite sur un sous ensemble

Principe d'attaque : la fonction modèle de fuite

$$K = X = \{0, 1\}^3$$

$$L : K \times X \rightarrow \mathbb{R}$$
$$(k, x) \mapsto L(k \oplus x)$$

$L(k \oplus x)$	$x = 0$	$x = 1$	\dots	$x = 2^n - 1$
0	$L(0, 0)$	$L(0, 1)$	\dots	$L(0, 2^n - 1)$
1	$L(1, 0)$	$L(1, 1)$	\dots	$L(1, 2^n - 1)$
\dots	\dots	\dots	\dots	\dots
k	$L(k, 0)$	$L(k, 1)$	\dots	$L(k, 2^n - 1)$
\dots	\dots	\dots	\dots	\dots
k'	$L(k', 0)$	$L(k', 1)$	\dots	$L(k', 2^n - 1)$
\dots	\dots	\dots	\dots	\dots
$2^n - 1$	$L(2^n - 1, 0)$	$L(2^n - 1, 1)$	\dots	$L(2^n - 1, 2^n - 1)$

La fonction modèle de fuite

Principe d'attaque : la fonction modèle de fuite

$$K = X = \{0, 1\}^3$$

$$L : K \times X \rightarrow \mathbb{R}$$
$$(k, x) \mapsto L(k \oplus x)$$

$L(k \oplus x)$	$x = 0$	$x = 1$	\dots	$x = 2^n - 1$
0	$L(0, 0)$	$L(0, 1)$	\dots	$L(0, 2^n - 1)$
1	$L(1, 0)$	$L(1, 1)$	\dots	$L(1, 2^n - 1)$
\dots	\dots	\dots	\dots	\dots
k	$L(k, 0)$	$L(k, 1)$	\dots	$L(k, 2^n - 1)$
\dots	\dots	\dots	\dots	\dots
k'	$L(k', 0)$	$L(k', 1)$	\dots	$L(k', 2^n - 1)$
\dots	\dots	\dots	\dots	\dots
$2^n - 1$	$L(2^n - 1, 0)$	$L(2^n - 1, 1)$	\dots	$L(2^n - 1, 2^n - 1)$

La fonction modèle de fuite

Principe d'attaque : la fonction modèle de fuite

$$K = X = \{0, 1\}^3$$

$$L : K \times X \rightarrow \mathbb{R}$$
$$(k, x) \mapsto L(k \oplus x)$$

$L(k \oplus x)$	$x = 0$	$x = 1$	\dots	$x = 2^n - 1$
0	$L(0, 0)$	$L(0, 1)$	\dots	$L(0, 2^n - 1)$
1	$L(1, 0)$	$L(1, 1)$	\dots	$L(1, 2^n - 1)$
\dots	\dots	\dots	\dots	\dots
k	$L(k, 0)$	$L(k, 1)$	\dots	$L(k, 2^n - 1)$
\dots	\dots	\dots	\dots	\dots
k'	$L(k', 0)$	$L(k', 1)$	\dots	$L(k', 2^n - 1)$
\dots	\dots	\dots	\dots	\dots
$2^n - 1$	$L(2^n - 1, 0)$	$L(2^n - 1, 1)$	\dots	$L(2^n - 1, 2^n - 1)$

La fonction modèle de fuite

Principe d'attaque : la fonction modèle de fuite

$$K = X = \{0, 1\}^3, SX = \{x_1, \dots, x_m\} \subset X$$

$$L : K \times SX \rightarrow \mathbb{R}$$
$$(k, x_i) \mapsto L(k \oplus x_i)$$

$L(k \oplus x)$	x_0	x_1	\dots	x_m
0	$L(0, x_0)$	$L(0, x_1)$	\dots	$L(0, x_m)$
1	$L(1, x_0)$	$L(1, x_1)$	\dots	$L(1, x_m)$
\dots	\dots	\dots	\dots	\dots
k	$L(k, x_0)$	$L(k, x_1)$	\dots	$L(k, x_m)$
\dots	\dots	\dots	\dots	\dots
k'	$L(k', x_0)$	$L(k', x_1)$	\dots	$L(k', x_m)$
\dots	\dots	\dots	\dots	\dots
$2^n - 1$	$L(2^n - 1, x_0)$	$L(2^n - 1, x_1)$	\dots	$L(2^n - 1, x_m)$

La fonction modèle de fuite sur un sous-ensemble de traces

Principe d'attaque : la fonction modèle de fuite

$$K = X = \{0, 1\}^3, SX = \{x_1, \dots, x_m\} \subset X$$

$$L : K \times SX \rightarrow \mathbb{R}$$
$$(k, x_i) \mapsto L(k \oplus x_i)$$

$L(k \oplus x)$	x_0	x_1	\dots	x_m
0	$L(0, x_0)$	$L(0, x_1)$	\dots	$L(0, x_m)$
1	$L(1, x_0)$	$L(1, x_1)$	\dots	$L(1, x_m)$
\dots	\dots	\dots	\dots	\dots
k	$L(k, x_0)$	$L(k, x_1)$	\dots	$L(k, x_m)$
\dots	\dots	\dots	\dots	\dots
k'	$L(k', x_0)$	$L(k', x_1)$	\dots	$L(k', x_m)$
\dots	\dots	\dots	\dots	\dots
$2^n - 1$	$L(2^n - 1, x_0)$	$L(2^n - 1, x_1)$	\dots	$L(2^n - 1, x_m)$

La fonction modèle de fuite sur un sous-ensemble de traces

on note Le vecteur $V_k = (v_{k,1}, \dots, v_{k,m}) = L_k - E(L_k)$

- La corrélation entre la fuite réelle M et la fuite estimée par le modèle pour la clé k est :

$$\rho_{M, V_k} = \frac{\text{cov}(M, V_k)}{\sigma_M \cdot \sigma_{V_k}} = \frac{\langle M, V_k \rangle}{\|M\| \|V_k\|}$$

Principe d'attaque : condition de réussite de la CPA

- La corrélation entre la fuite réelle M et la fuite estimée par le modèle pour la clé k est :

$$\rho_{M, V_k} = \frac{\text{cov}(M, V_k)}{\sigma_M \cdot \sigma_{V_k}} = \frac{\langle M, V_k \rangle}{\|M\| \|V_k\|}$$

- La CPA réussit si et seulement si :

$$\rho_{M, V_k} \succ \rho_{M, V_{k'}}; \forall k' \neq k \dots \dots \dots (1)$$

Principe d'attaque : condition de réussite de la CPA

- La corrélation entre la fuite réelle M et la fuite estimée par le modèle pour la clé k est :

$$\rho_{M, V_k} = \frac{\text{cov}(M, V_k)}{\sigma_M \cdot \sigma_{V_k}} = \frac{\langle M, V_k \rangle}{\|M\| \|V_k\|}$$

- La CPA réussit si et seulement si :

$$\rho_{M, V_k} \succ \rho_{M, V_{k'}}; \forall k' \neq k \dots \dots \dots (1)$$

- Comme la fuite mesurée M correspond à la bonne clé k , alors :

$$M = V_k + N;$$

$V_k = (v_{k,1}, \dots, v_{k,m})$ la fuite qui correspond à la bonne clé k

$N = (N_1, \dots, N_m)$ erreurs du modèle et de mesures

- (1) $\iff \rho_{M, V_k} \succ \rho_{M, V_{k'}}; \forall k' \neq k$
comme $M = V_k + N$ alors,

- (1) $\iff \rho_{M, V_k} \succ \rho_{M, V_{k'}}; \forall k' \neq k$

comme $M = V_k + N$ alors,

$$(1) \iff 1 - \frac{\langle V_k, V_{k'} \rangle}{\|V_k\| \|V_{k'}\|} \succ \left\langle \frac{N}{\|V_k\|}, \frac{V_k}{\|V_k\|} - \frac{V_{k'}}{\|V_{k'}\|} \right\rangle$$

Principe d'attaque : condition de réussite de la CPA

- (1) $\iff \rho_{M, V_k} \succ \rho_{M, V_{k'}}; \forall k' \neq k$
comme $M = V_k + N$ alors,
(1) $\iff 1 - \frac{\langle V_k, V_{k'} \rangle}{\|V_k\| \|V_{k'}\|} \succ \left\langle \frac{N}{\|V_k\|}, \frac{V_k}{\|V_k\|} - \frac{V_{k'}}{\|V_{k'}\|} \right\rangle$
- $\frac{2}{SNR} \stackrel{1}{=} 2 \frac{\|N\|}{\|V_k\|} \succ \left| \left\langle \frac{N}{\|V_k\|}, \frac{V_k}{\|V_k\|} - \frac{V_{k'}}{\|V_{k'}\|} \right\rangle \right|; \forall k' \neq k$
(l'inégalité de Cauchy-Schwarz)

Principe d'attaque : condition de réussite de la CPA

- (1) $\iff \rho_{M, V_k} \succ \rho_{M, V_{k'}}; \forall k' \neq k$
comme $M = V_k + N$ alors,
(1) $\iff 1 - \frac{\langle V_k, V_{k'} \rangle}{\|V_k\| \|V_{k'}\|} \succ \left\langle \frac{N}{\|V_k\|}, \frac{V_k}{\|V_k\|} - \frac{V_{k'}}{\|V_{k'}\|} \right\rangle$
- $\frac{2}{SNR} = 2 \frac{\|N\|}{\|V_k\|} \succ \left| \left\langle \frac{N}{\|V_k\|}, \frac{V_k}{\|V_k\|} - \frac{V_{k'}}{\|V_{k'}\|} \right\rangle \right|; \forall k' \neq k$
(l'inégalité de Cauchy-Schwarz)
- D'où, pour réussir l'attaque CPA il suffit que

$$\forall(k, k'); k' \neq k, 1 - \frac{\langle V_k, V_{k'} \rangle}{\|V_k\| \|V_{k'}\|} \succ \frac{2}{SNR}$$

Require: $Model[2^n][2^n] \vee SNR$

Principe d'attaque : recherche des mesures adéquates

Require: $Model[2^n][2^n] \vee SNR$

Ensure: $List_Mesures_Choisies$

Require: $Model[2^n][2^n] \vee SNR$

Ensure: $List_Mesures_Choisies$

- 1: $List_Mesures_Choisies = choisir_une_mesure(List_Mesures_Possibles)$
- 2: $mesure, Correlation_courante = 1$

Principe d'attaque : recherche des mesures adéquates

Require: $Model[2^n][2^n] \vee SNR$

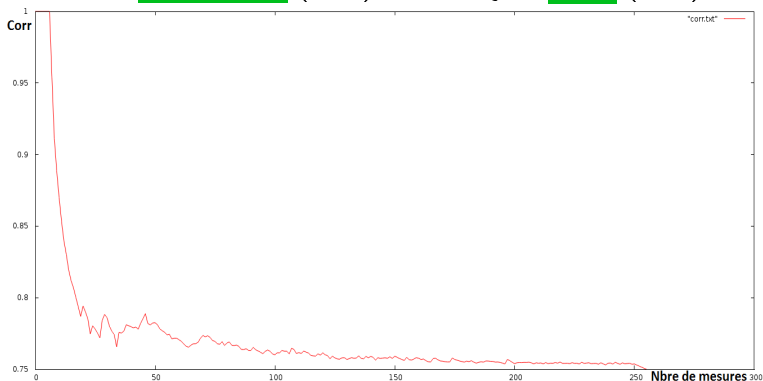
Ensure: $List_Mesures_Choisies$

- 1: $List_Mesures_Choisies = choisir_une_mesure(List_Mesures_Possibles)$
- 2: $mesure, Correlation_courante = 1$
- 3: **while** $\neg(1 - Correlation_courante > \frac{2}{SNR})$ **do**
- 4: $mesure = chercher_Min_correlation(List_Mesures_Possibles)$
- 5: $deplacer(mesure, List_Mesures_Possibles, List_Mesures_choisies)$
- 6: $Correlation_courante = correlation_maximale(List_Mesures_choisies)$
- 7: **end while**

Attaque de l'entrée de la S-Box (1^{er} tour de l'AES)

Min_corrélacion(256 mesure)=0.75.

Avec 24 mesures (10%) on est déjà à 97% (0.77)

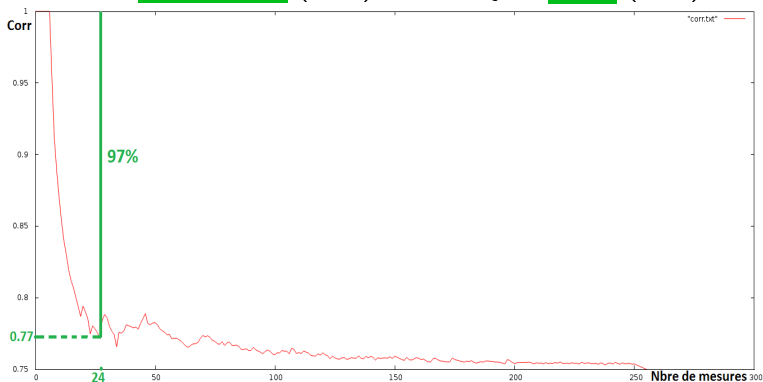


Corrélacion maximale en fonction de nombre de mesures (cas de XOR)

Attaque de l'entrée de la S-Box (1^{er} tour de l'AES)

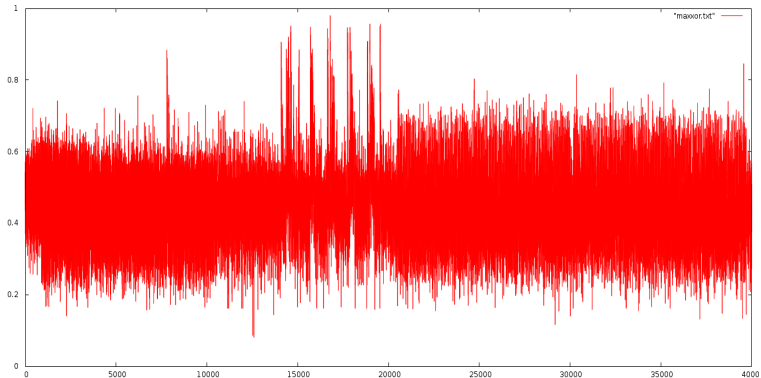
Min_corrélacion(256 mesure)=0.75.

Avec 24 mesures (10%) on est déjà à 97% (0.77)



Corrélacion maximale en fonction de nombre de mesures (cas de XOR)

Attaque de l'entrée de la S-Box (1^{er} tour de l'AES)

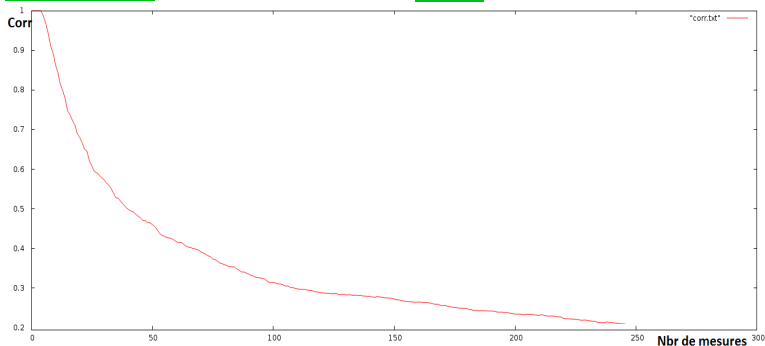


Résultat de l'attaque (cas de XOR)

Attaque de la sortie de la S-Box (1^{er} tour de l'AES)

Min_corrélation(256 mesure)=0.2.

Avec **26 mesures** (10%) on est déjà à **50%** ($0.60 < 0.75$ du cas de XOR)

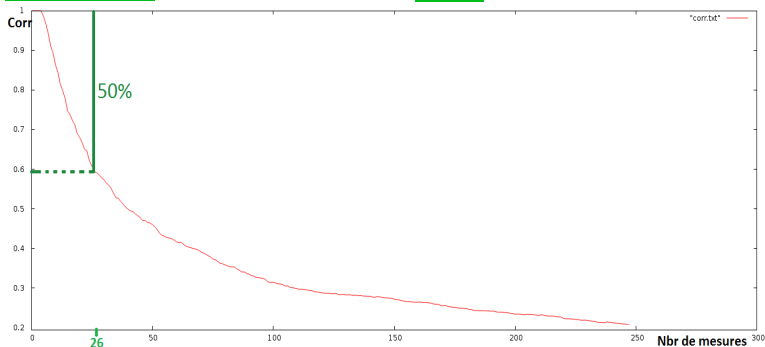


Corrélation maximale en fonction de nombre de mesures (cas de S-Box)

Attaque de la sortie de la S-Box (1^{er} tour de l'AES)

Min_corrélation(256 mesure)=0.2.

Avec **26 mesures** (10%) on est déjà à **50%** ($0.60 < 0.75$ du cas de XOR)

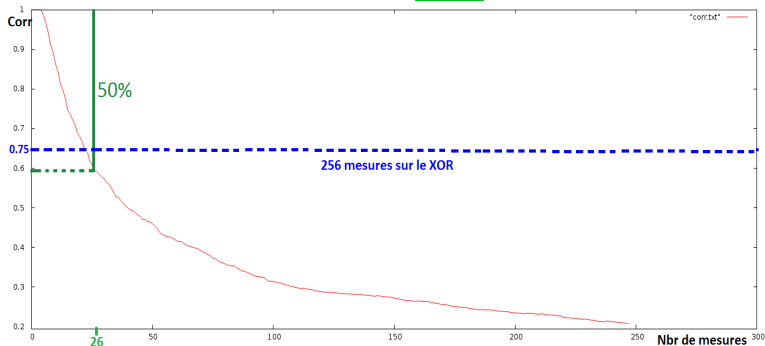


Corrélation maximale en fonction de nombre de mesures (cas de S-Box)

Attaque de la sortie de la S-Box (1^{er} tour de l'AES)

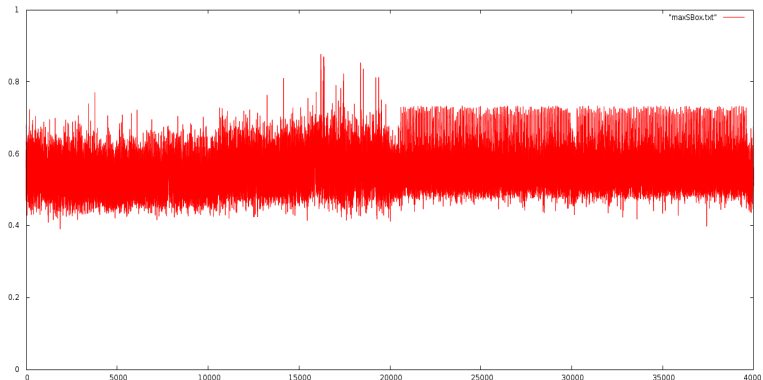
Min_corrélation(256 mesure)=0.2.

Avec **26 mesures** (10%) on est déjà à **50%** ($0.60 < 0.75$ du cas de XOR)



Corrélation maximale en fonction de nombre de mesures (cas de S-Box)

Attaque de la sortie de la S-Box (1^{er} tour de l'AES)



Résultat de l'attaque (cas de la S-Box)

Conclusions

Conclusions

- 1 Réduction du nombre de traces.

Conclusions

- 1 Réduction du nombre de traces.
- 2 Complexité :

Conclusions

- 1 Réduction du nombre de traces.
- 2 Complexité :
 - 1 Pré-calcul pour trouver les traces optimales : $m * 2^{2n}$.

Conclusions

- 1 Réduction du nombre de traces.
- 2 Complexité :
 - 1 Pré-calcul pour trouver les traces optimales : $m * 2^{2n}$.
 - 2 Recherche des sous clés : $2^m * 2^n$.

Conclusions

- 1 Réduction du nombre de traces.
- 2 Complexité :
 - 1 Pré-calcul pour trouver les traces optimales : $m * 2^{2n}$.
 - 2 Recherche des sous clés : $2^m * 2^n$.

Perspectives

- 1 Attaque de plusieurs points pour minimiser encore le nombre de traces.

Conclusions

- 1 Réduction du nombre de traces.
- 2 Complexité :
 - 1 Pré-calcul pour trouver les traces optimales : $m * 2^{2n}$.
 - 2 Recherche des sous clés : $2^m * 2^n$.

Perspectives

- 1 Attaque de plusieurs points pour minimiser encore le nombre de traces.
- 2 Masquage et choix de mesures.

Conclusions

- 1 Réduction du nombre de traces.
- 2 Complexité :
 - 1 Pré-calcul pour trouver les traces optimales : $m * 2^{2n}$.
 - 2 Recherche des sous clés : $2^m * 2^n$.

Perspectives

- 1 Attaque de plusieurs points pour minimiser encore le nombre de traces.
- 2 Masquage et choix de mesures.
- 3 Amélioration du pré-calcul des traces optimales.

Conclusions

- 1 Réduction du nombre de traces.
- 2 Complexité :
 - 1 Pré-calcul pour trouver les traces optimales : $m * 2^{2n}$.
 - 2 Recherche des sous clés : $2^m * 2^n$.

Perspectives

- 1 Attaque de plusieurs points pour minimiser encore le nombre de traces.
- 2 Masquage et choix de mesures.
- 3 Amélioration du pré-calcul des traces optimales.
- 4 Approche spectrale pour réduire la complexité du calcul à $m * 2^n$.

Merci pour votre attention